

ПРИЛОЖЕНИЕ

**Таблица III.** Антитела, использованные в исследовании, и их характеристики («Thermo Fisher Scientific», США).

Флуорофор	Маркер	Клон	Лот #	Разведение
SB436	CD3	eBio500A2 (500A2)	62-0033-82	1:100
eFluor506	CD45.2	104	69-0454-82	1:100
SB600	CD11b	M1/70	63-0112-82	1:300
SB645	CD45R (B220)	RA3-6B2	64-0452-82	1:100
SB702	CD4	GK1.5	67-0041-82	1:100
SB780	CD8	53-6.7	78-0081-82	1:100
PE	Ly6G	1A8-Ly6g	53-5932-82	1:500
PE-eFluor610	TER-119	TER-119	61-5921-82	1:100
PE-Cy7	CD11c	N418	25-0114-82	1:300
PerCP-eFluor710	CD71	R17217 (RI7 217.1.4)	46-0711-82	1:200
eFluor660	CD335 (NKp46)	29A1.4	50-3351-82	1:100

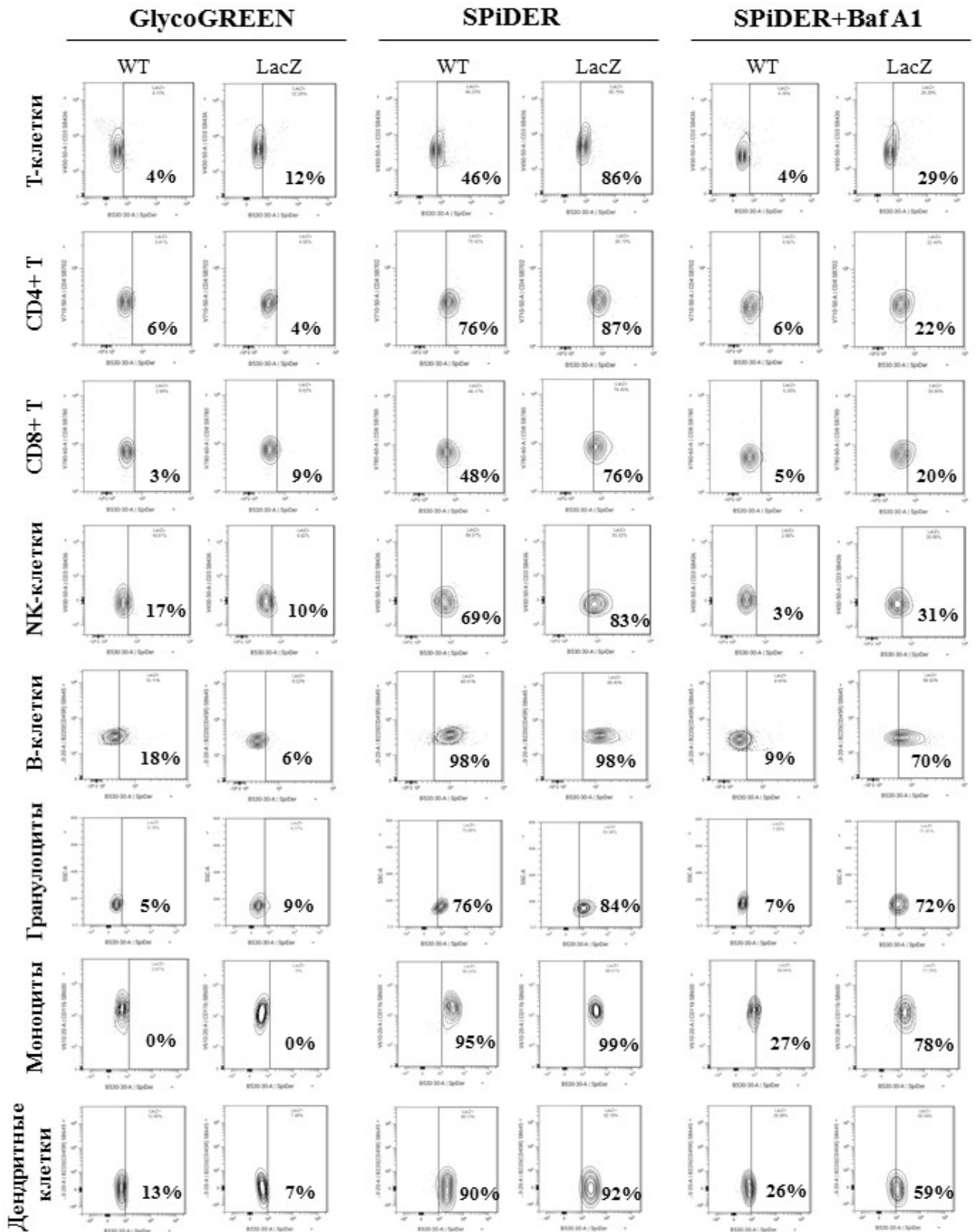
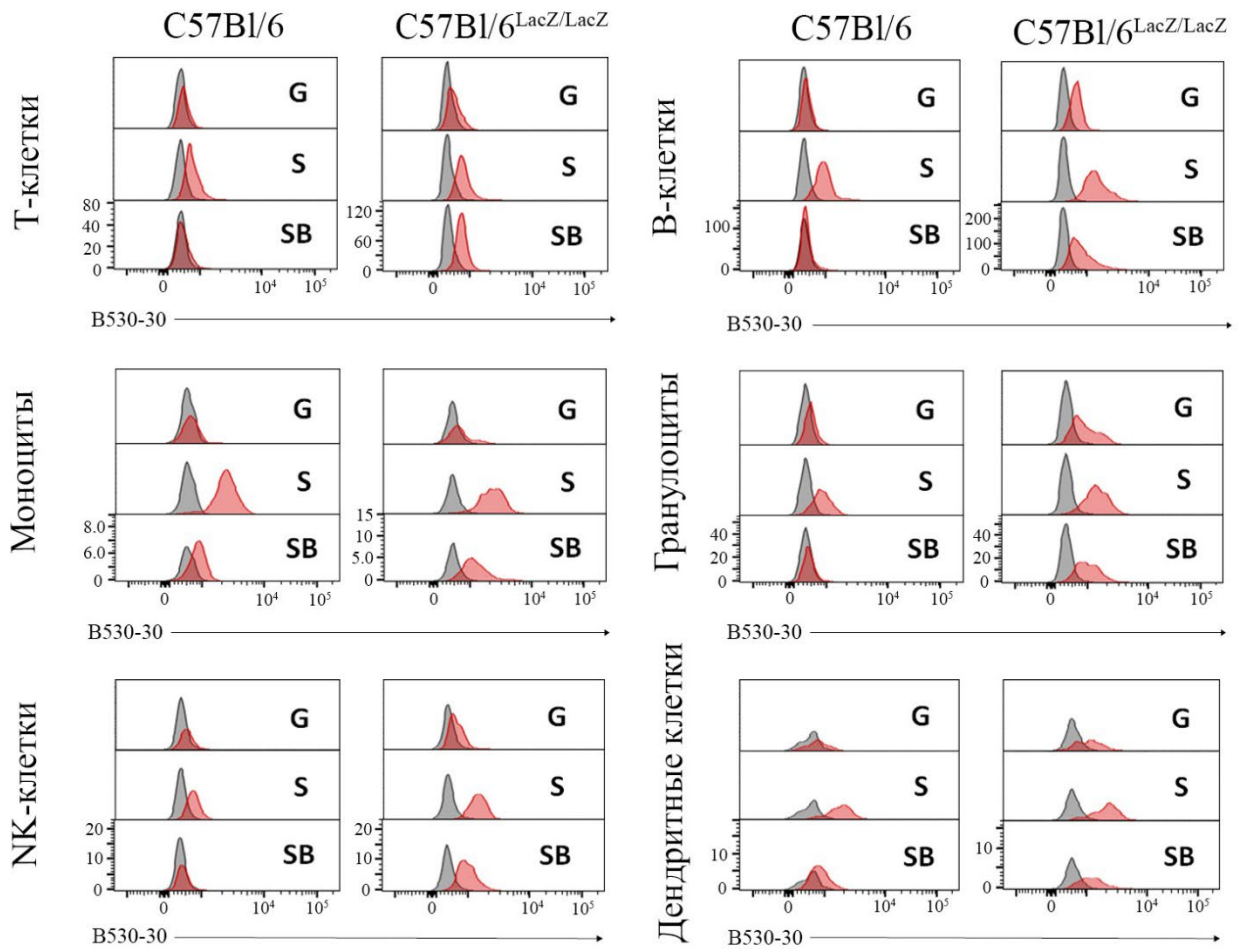


Рис. П1. Примеры гейтов для популяций клеток периферической крови мышей дикого типа C57Bl/6 (WT) и репортёрных C57Bl/6<sup>LacZ/LacZ</sup> (LacZ), окрашенных GlycoGREEN, SPiDER-βGal и SPiDER-βGal + Бафиломицин А1.



**Рис. П2.** Гистограммы распределения интенсивности флуоресценции субстратов GlycoGREEN (G), SPiDER-βGal (S) и SPiDER-βGal + Бафиломицин A1 (SB), использованных для детекции активности LacZ в популяциях клеток крови репортёрных мышей C57Bl/6<sup>LacZ/LacZ</sup> и дикого типа C57Bl/6. Значения по оси ординат отражают количество событий, по оси абсцисс указаны значения интенсивности флуоресценции субстратов в канале B530-30, красный пик соответствует распределению флуоресценции в присутствии соответствующего субстрата, серый пик – в FMO-контроле.